

〔罗馬尼亞〕N·克瑞斯特 著

地下水力学

刘懈宁 叶詩美 王謙身 譯

下册

中国工业出版社

地 下 水 力 学

下 册

〔罗馬尼亞〕 N·克瑞斯特 著

刘樹宁 叶詩美 王謙身 譯

中 国 工 业 出 版 社

本书系統而全面地闡述了多孔介质內非均質液体的流动原理。介绍了各种含气非均质液体的流动規律、油田开发过程中油井的干扰、确定油井产量和注入量的方法，以及多相液体滲流与井距及开采方式的关系等。

本书可供石油矿場工程技术及地质工作人員参考。对有关各石油院校师生也有参考价值。

Dr. Ing. N. Cristea
HIDRAULICA SUBTERANA
VOL. II
EDITURA TEHNICA
Bucuresti, 1958

* * *
ПОДЗЕМНАЯ ГИДРАВЛИКА
ТОМ II

Перевод с румынского инж. Бан Акош
Под редакцией д-ра физ.-мат. наук В. П. Пилатовского
ГОСТОПТЕХИЗДАТ, Москва, 1962
根据苏联国立石油燃料科技书籍出版社
1962年版翻译

* * *
地 下 水 力 学
下 册
刘澍宁 叶詩美 王謙身 譯

石油工业部編輯室編輯 (北京北郊六號炕石油工业部)

中国工业出版社出版 (北京復興門內大街 10 号)

北京市书刊出版业营业许可证字第 110 号

北京市印刷一厂印刷

新华书店北京发行所发行·各地新华书店經售

开本 850×1168 1/32 · 印张 16 · 插页 1 · 字数 420,000
1964 年 10 月北京第一版 · 1964 年 10 月北京第一次印刷
印数 0001—1350 · 定价 (科六) 2.60 元

*
统一书号: 15165 · 18(石油-5)

目 录

第Ⅺ章 非均质液体在多孔介质中渗流的基本特征	1
§ 1 有效渗透率及相对渗透率	1
§ 2 液气两相系統之渗透率-饱和度关系	2
§ 3 单一液相及单一气相所組成之系統的渗透率-饱和度关系的解释	6
§ 4 根据单一液相及单一气相所組成的系統而获得的渗透率与饱和度关系, 定性地闡明油气的多相液流特点	8
§ 5 不互溶双液系統的渗透率-饱和度关系	10
§ 6 不互溶双液系統之渗透率-饱和度关系研究結果的物理解释	12
§ 7 三相系統之渗透率-饱和度关系	14
§ 8 “渗透率-饱和度”的定量关系	17
§ 9 利用岩石的毛管及电学特性計算可湿相的相对渗透率	18
§ 10 研究多相流体在多孔介质中渗滤时的物质守恒(平衡)定律	26
§ 11 运动定律	27
§ 12 一般的渗流方程式	29
第Ⅻ章 多相液体稳定流动問題	33
§ 1 概述	33
§ 2 气-油系統单向渗流	33
§ 3 气-油系統的平面径向渗流	35
§ 4 解决油-气非均质系統平面径向渗流問題的一般方法	41
§ 5 关于考慮石油真实性质的必要性	44
§ 6 油-水系統的稳定渗流	46
§ 7 水-油系統的径向对称渗流	48
§ 8 气-油-水系統的稳定渗流	51
第ⅩIII章 油井及注水井的生产特征	56
§ 1 定义	56

§ 2 均质液流之生产系数.....	57
§ 3 在油藏压力高于饱和压力时，按生产井之压力及产量资料 确定生产系数.....	58
§ 4 非均质液体渗流时的生产系数.....	61
§ 5 当油藏在低饱和压力下工作时，按井的产量及压力测量 资料确定生产系数.....	65
§ 6 按岩心分析资料估計生产系数.....	67
§ 7 生产系数的实际意义.....	69
§ 8 吸水系数的理論依据.....	73
§ 9 确定 $K_{n,n}$ 和 K_n 的实际意义	75
第IV章 非均质液体不稳定渗流問題。	
沒有气頂和移动边水的油藏动态	80
§ 1 概述.....	80
§ 2 液气两相系統的綫性渗流.....	80
§ 3 应用已得到的关系式来研究采收率与井距的关系.....	84
§ 4 用有限差分法求解油-气非均质系統径向 不稳定渗流的問題[3]	86
§ 5 用有限差分法求解油-气非均质系統径向不稳定 渗流的問題。有关实例，計算，結論等的說明.....	91
§ 6 用稳定状态逐次替换法研究油-气非均质系統不稳定径向 渗流.....	97
§ 7 井底压力高于饱和压力时的均质液体 渗流 时期，和 由均质向非均质液流过渡的时期。向一口井的不稳定 径向渗流	108
§ 8 第IV章第 7 节中所述方法的实例。結論。关于油井产量和 井距对采收率的影响	117
§ 9 无气頂且无明显移动边水的油藏，在压力降到饱和压力 以下开采时之动态預測。概述	125
§ 10 无气頂且无明显移动边水的油藏，在压力低于饱和压力下 开发时的动态預測。微分法.....	126
§ 11 有关例 7 的油田动态与特性参数的关系的理論結果分析.....	137
§ 12 关于微分方程式 [IV.10(14)] 之补充見解.....	138
§ 13 預測无气頂且无明显移动边水之油藏，在溶解气驅方式	

下的动态变化。积分法.....	141
§ 14 无气顶且无移动边水之油田，在地层压力低于饱和压力下开采时，油气性质对油田动态的影响.....	150
§ 15 无气顶且无明显移动边水的油田，在压力降到饱和压力以下开发时，束缚水饱和度和渗透率-饱和度的关系对油田动态的影响.....	155
§ 16 在压力降到饱和压力以后，生产系数和产量之递减.....	158
§ 17 无原始气顶又无移动边水的油田之注气問題.....	163
§ 18 在无气顶且无移动边水之地层中注入气体滞留的影响.....	169
§ 19 关于无气顶又无移动边水之油田动态的一些实际結論.....	173
第Ⅺ章 具有原始气顶而无明显边水移动的油田动态。	
重力对油田开发动态的影响	181
§ 1 具有原始气顶但无明显边水移动，并假定气顶不扩展入油带时的油田动态	181
§ 2 具有原始气顶但无明显移动边水的油田，当注气时并假定气顶不会扩展入油带时的油田动态	187
§ 3 关于重力影响油田开发动态的一般看法	188
§ 4 当油沿构造往下靠重力渗流时，确定其最大可能产量的方法	189
§ 5 石油沿构造往下的不稳定重力渗流。近似理論	192
§ 6 当假設气顶会扩展入油带和油会沿构造向下作重力渗流时，沒有明显边水移动之油田动态	195
§ 7 关于注气的某些实用見解和启示	202
§ 8 关于重力作用对油田动态的影响之一般見解	204
第Ⅻ章 边水部分推进的油田动态	207
§ 1 預測高于飽和压力时的油田动态	207
§ 2 預測油层压力低于飽和压力时的油田动态。两个近似方法	209
§ 3 預測油层压力低于飽和压力时的油藏动态。另一近似方法	217
§ 4 生产区再次饱和現象的矿場觀察	228
第Ⅼ章 关井后得到的压力随時間变化的曲線的分析	230
§ 1 概述	230

§ 2	麦斯凯特提出的研究关井后压力恢复曲綫的方法	230
§ 3	阿帕斯和史密斯提出的压力恢复曲綫的研究方法	232
§ 4	关井后压力恢复的理論关系。在均质可压缩液体滲流 情况下	234
§ 5	应用电模拟解决关井后压力随时间变化而恢复的問題	243
§ 6	考虑某些关井前液体不稳定滲流的情况	245
§ 7	在一口井中当关井后井内压力恢复的理論关系。在油-气 非均质液流的情况下	247
§ 8	为了使液体密度或压力的分布达到实际上的稳定状态， 而要求井以固定的产量生产的时间	250
§ 9	确定滲透率时所必需的关井期限	251
§ 10	利用关井后的压力恢复曲綫确定地层压力	252
§ 11	准备投产井的有效性的估計	262
§ 12	注水井关井后压力降落的理論表达式	265
§ 13	采气井与注气井关闭后压力恢复曲綫的分析	270
第ⅩⅢ章	干扰現象	273
§ 1	油田之間大規模的区域性干扰	273
§ 2	同一油田內各个部分之間的干扰	274
§ 3	由于新井钻凿和投产而引起的压力和产量(或者产量不 降)的降落	276
§ 4	研究和阐明井間干扰的矿場試驗	277
§ 5	用可压缩液体在多孔介质中滲流的理論来解释干扰現象	281
§ 6	当地层压力降至飽和压力以下时之干扰試驗	283
§ 7	均质不可压缩液体稳定流动时干扰的几何結果。井組(井 数不多的)干扰的一般理論	284
§ 8	井数不多的井組中之干扰的几何效果举例	286
§ 9	位于直線无穷供給邊緣附近的井組(由少数井組成)的干扰 的几何效果	292
§ 10	在单一无穷井列中干扰的几何效果	295
§ 11	位于压力为常数的直線边界附近的一个无穷井排中相互 干扰的几何效果	297
§ 12	在压力恒定的直線邊緣附近，两个无穷井排相互干扰的	

几何效果.....	300
§ 13 在压力恒定的直綫邊緣附近的三个无穷井排相互干扰的 几何效果.....	309
§ 14 按菱形布井时井排之間干扰的几何效果.....	312
§ 15 用等值滲透阻力法估計干扰的几何效果.....	315
§ 16 存在不滲透边界(断层、地层尖灭或其他)时的計算.....	320
§ 17 当井在无穷地层中工作，并且产出的是可压缩液体时分 析井干扰之一般方法。不滲透边界的影响.....	322
§ 18 确定封閉性油藏之平均压力.....	325
§ 19 关于干扰現象的某些結論.....	331
第XIX章 关于注水和注气的某些理論觀点。	
論用水或气驅油	334
§ 1 引言	334
§ 2 沿直綫布置的井网。产量的計算	337
§ 3 直綫井排間井位相錯的井网。产量的計算	342
§ 4 五点式井网。产量計算	345
§ 5 七点式井网。其产量之計算	345
§ 6 各种不同井网的水淹效率。問題的提出	350
§ 7 直綫井网。水淹效率	352
§ 8 棋盤井网。水淹效率	355
§ 9 七点井网。水淹效率	356
§ 10 从开始注入到生产井見水的水窜时间之計算.....	358
§ 11 用一排生产井和一排注入井开采凝析气田。气淹效率.....	359
§ 12 向两面分注以开发凝析气田.....	362
§ 13 用一口位于圓心的注入井和一排沿圓周分布的生产井开 发凝析气田。气淹效率.....	365
§ 14 在压力为常数的圓形供給邊緣內部沿着和供給邊緣同心 的圓周分布的井排。水淹效率.....	367
§ 15 驅替液和被驅液之間界面的移动。解决此問題的理論性 探討.....	368
§ 16 驅替液和被驅液之間界面的移动。直綫系統.....	370
§ 17 驅替液和被驅液之分界面的移动。平面徑向系統.....	374
§ 18 驅替液和被驅液之間界面的形状.....	378

§ 19	解析法确定驱替液和被驱液界面形状的简例.....	380
§ 20	利用电模型确定驱替液和被驱液的界面形状.....	384
§ 21	电位计模型.....	386
§ 22	电位计模型的理论.....	388
§ 23	运用电位计模型确定流度比对水淹系数的影响.....	391
§ 24	以 X 射线照相为基础的模型	393
§ 25	渗透率的变化对水驱油的影响。由渗透率不同的夹层所 组成的直线系统.....	394
§ 26	本章第 25 节所述理论的推广	400
§ 27	贝克莱和列维莱特所建立的水驱或气驱油的理论.....	417
§ 28	运用贝克莱和列维莱特创立的水或气驱油的理论的实例	427
§ 29	用五点井网系统进行内缘注水注气时的预测方法.....	431
§ 30	试验贝克莱和列维莱特所创立的水或气驱油的理论之正 确性.....	439
§ 31	油井改为注水井的过程.....	440
§ 32	预测注气过程的近似方法.....	449
§ 33	关于注水以保持油田压力的某些实用性评述.....	456
第XX章	运用因次分析和相似理论研究	
	多孔介质中的流动。模拟理论	465
§ 1	引言	465
§ 2	冷水驱油的模拟理论	466
§ 3	关于模拟冷水驱油的可能性	473
§ 4	热水驱油的模拟理论	479
§ 5	关于模拟热水驱油的可能性	484
§ 6	互溶液体驱油的模拟理论。建立模型的可能性	487
§ 7	对如何模拟用水或互溶液驱油的总的看法	491
§ 8	模拟冷水驱油以及利用它求得粘度比对油田动态影响 (从数量上看)的实例	492
§ 9	非均质油气系统渗流的探索性模拟	496
§ 10	结束语.....	497

第XII章 非均质液体在多孔介质中 渗流的基本特征

§ 1. 有效渗透率及相对渗透率

上卷各章所探討的問題，都是假設多孔介质中流动的只是均质液体。如果說这一假設对于气田还是有效的話，那么，对于那些已降至飽和压力以下的油田說来，这一假設就沒有意义了。实际上，当压力降至飽和压力以下时，在多孔介质中流动着的是石油和从油中分离出来的天然气（非均质液体）。

在均质液流中关于存在着相当数量的束縛水的假設，在討論非均质液流时仍然有效；但只限于在油田压力尚未降至飽和压力以下时。对于气田來說也是如此。此一論断的根据是束縛水实际上 是不能流动的❶，而只是減低了多孔介质的渗透率；只要注意到，倘有部分孔隙体积为不移动的束縛水所占据，则其流动阻力将比孔隙体积全为流动液体独自占据时要大些，那么就可充分地說明上述假設之正确性了。均质液体流动时，渗透率的减少将取决于孔隙中束縛水含量之高低。

进一步探討两相液流則可得出，其渗透性之降低会有不同情况，当不移动相能潤湿岩石且有集聚在最小孔隙和与颗粒表面相接触之倾向时，其渗透性降低情况将与不移动相未能潤湿岩石并在孔隙中連續分布时的情况不一样。这样一来，如多孔介质中含有多相流体时，絕不能把渗透率視為定值，并认为它仅与多孔介质的結構有关❷。

❶ 但必須指出，在水驅油时束縛水可被注入水所驅替（參閱I.7）。

❷ 只有当多孔介质与渗流液体沒有相互作用时，渗透率才只与多孔介质的结构有关（第8和9节）。

当有不流动相存在时，即使只有一相在流动，其渗透性就会降低。从而証实，当多孔介质中有多相存在时，各相的通过能力应由每一相的渗透率来决定。这一渗透率值称之为有效渗透率，最常見的是以絕對渗透率的分数来表示，所以也称为 相对渗透率。

根据上述，值得注意的是，可以认为在非均质液体渗流时，多孔介质中只有在局部孔隙中有流体通过，能让流体通过之局部孔隙体积，相应地取决于孔隙空間中所充填的各相液体飽和度分布情况。既然有效渗透率取决于飽和度之分布情况，所以它将因地因时而异，从水动力学观点看来，可以把非均质液体流动时的多孔介质，視為是一种渗透率随時間和隨位置而变的系統。

把束縛水飽和度的分布視為定值之假設，可以看作是非均质液体流动时的一种特殊情况，此时把絕對渗透率乘以恒定的乘数后，便可得到对油或气的有效渗透率。

根据上述，若用数学分析法研究多相流体滲濾問題，則需要知道有效渗透率与飽和度的关系，而后可以建立滲濾的基本微分方程式。为此，下面将介紹研究滲透率和飽和度关系所得到的主要成果①。

§ 2. 液气两相系統之滲透率-飽和度关系

最初用来测定液气两相系統的滲透率-飽和度关系的實驗是用一裝有不胶結砂的，直径为 2”，长度为 10 米的管子进行的②。

非均质液体系由含 NaCl 水（为了改善其导电性）和 CO₂ 所組成。試驗所用的不胶結砂，其滲透率在 17.8 到 262 达西之間。試驗管由 10 节絕緣胶木管組成，各管节彼此用青銅环箍联接在一起，青銅环箍本身又可作为电极，环箍还与測压計相连。这样，

① M. 麦斯蓋特曾对这些成果加以系統整理（參閱文献[1]，本书即系根据这些資料編寫，但在个别章节則曾做了些补充）。

② 參閱文献[2]，該論文曾以摘要形式发表于 AIME Trans., Petr. Dev. and Techn., 1937, p. 69.

各青銅環箍均可用来确定沿管流向的压力分布，也可用来量测共导电率。借助于在研究两相系統滲流以前所作出之校正曲綫，就可以把测出的导电率換算为飽和度。

为了研究在液体飽和度較高的区段內的滲流情况，則可把溶有碳酸气的水注入砂层內，当降压时，碳酸气就会从水中释出；为了研究液体飽和度較低的区段的滲流情况，可額外再多注入一些游离的碳酸气。在試驗进程中，要不断地測出它的导电率，压力降，水和碳酸气的产量。根据所获得的資料，就可算出其滲透率，把这些数值視為是飽和度的函数而繪于图上（图1）。

两相系統中每一相之滲透率，在图上系繪示为相对滲透率（图1）。由图可見，对所研究的砂层而言，如絕對滲透率的变化范围在17.8—262达西之間，則相对滲透率与其絕對滲透率无关。

进而可見，不同的相對滲透率曲綫还可反映出

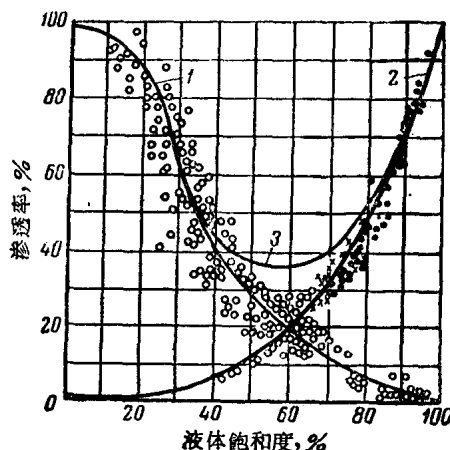


图 1 对四种不同砂子所作出的滲透率-飽和度关系曲綫[2]
1—气相滲透率 (k_r)；2—液相滲透率 (k_w)；
3—气液两相滲透率之和

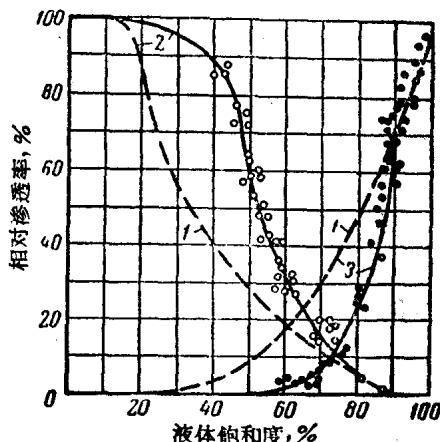


图 1a 砂岩的滲透率的飽和度曲綫，及
不胶結砂（滲透率为17.8达西）的相
對滲透率曲綫[3]
1—不胶結砂；2—气；3—液体

多孔介质结构之不同，孔隙结构则随颗粒的大小，形状和胶结程度也有所不同。

实验条件的改变并未在曲线上反映出来，诸如用在水中加糖的方法使水的粘度增达 3.4 厘泊，在水中掺入酒精使表面张力降至 27 达因/厘米等等。

用类似方法，对某一长约 1.5 米，渗透率为 495 毫达西和孔隙度为 21.8% 的砂岩岩心进行试验时所求得的结果则绘示于图 1 a 中[3]。在图 1 a 上还绘有对渗透率为 17.8 达西的不胶结砂岩所作出的相对渗透率曲线以供比较。在这些表征砂岩及不胶结砂岩的曲线之间，存在着性质方面的一致性，但在数量方面却有如下的差别：

- 1) 胶结砂岩中液相之相对渗透率曲线，随着液相饱和度的减低将急剧地降低；
- 2) 若同时增大气相饱和度，则胶结砂岩中之气相相对渗透率曲线将迅速增大而趋近于总渗透率值 (100%)。

上面介绍的实验成果，它在试验时是使液相和气相同时流过多孔介质。另外有些实验则是用短岩心进行，事先使它饱和死油，再把气体注入。每次试验后称量岩心，便可确定其含油饱和度。这样一来，就有可能直接测定气相之有效渗透率。早先用直接从岩心中排液的方法，在短岩心上作出的那些相对渗透率实验结果，在定量方面是值得怀疑的，因为所选用的岩心长度不足以消除末端效应，而末端效应在液相饱和度较大而压力梯度也较高时其意义尤其重大。有些实验[4]曾经证明，气相相对渗透率之改变取决于油之粘度，但在另外一些试验却未能证实这一点[5]。

在近来的一些实验中，在不同的压降值下曾得到同一的相对渗透率曲线。而后在长岩心中也曾得到同样的结果[6]。在罗马尼亚的一些实验室中，一般是在很小的岩心上测定气相之相对渗透率[7,8]。这些用克里弗砂岩测定的结果，如图 2 所示。

图 3 所示为用 26 块白云岩岩心求得的相对渗透率之平均曲线[9]，它们介乎用砂岩和不胶结砂岩测定的曲线之间（图 1 a）。

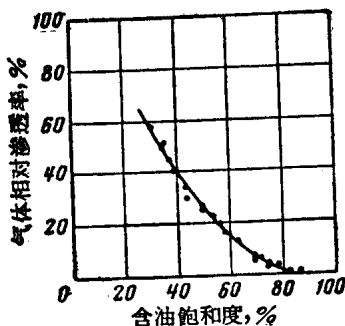


图 2 在肯宾那（罗马尼亚）实验室内用克里弗砂岩作出的相对渗透率

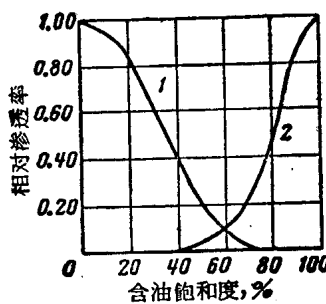


图 3 用26块白云岩心求出的平均相对渗透率曲线[9]
1—气；2—油

上述这些实验结果，对于由液、气组成的多相系统过滤来说是很典型的。除上述论文外，在文献中还有其他一些已发表的结果。为了比较用不同多孔介质所作出的相对渗透率曲线，已把图1，1^a，3所示的曲线叠绘于图4上，而相对渗透率之比例曲线与饱和度的关系则绘于图5上，图5上还列举了用毛细管束求出的相对渗透率曲线[10]。

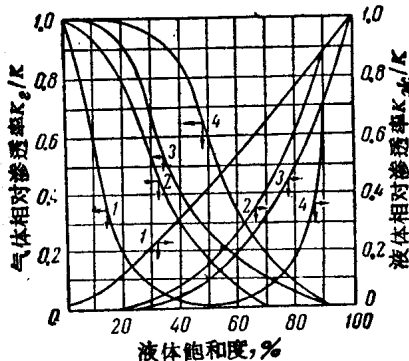


图 4 不同类型的多孔介质的相对渗透率曲线

1—毛管束；2—白云岩；3—不胶结砂；4—砂岩

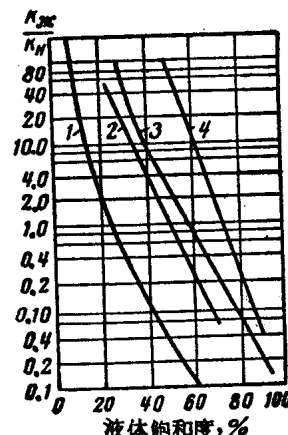


图 5 不同类型的多孔介质的相对渗透率比例曲线

1—毛管束；2—白云岩；3—不胶结砂；4—砂岩

毛細管是最簡單的孔隙結構，它的單位孔隙體積中之表面積最小。所以，白雲岩的相對滲透率曲線大體上最接近于毛管曲線；這也表明，白雲岩內的滲流系發生于孔道和裂縫中。白雲岩之非均質性主要是使單位孔隙體積之內表面積比起毛管束時要大[11]。這種單位孔隙體積之內表面積對砂質介質來說將更大。大體說來，在砂岩中存在着大量的不參加流動但卻可能被液體飽和之孔隙。這就會使液相能開始滲流的最低的液相飽和度增大，而隨着氣相飽和度之增加，液相的有效滲透率則將迅速降落。

§ 3. 単一液相及單一氣相所組成之系統的滲

透率-飽和度關係的解釋

定性說來，各種相對滲透率曲線在下列各方面是一致的：

- 1) 當液相飽和度一旦低於 100%，隨著液相飽和度下降，滲透率就急劇降低；
- 2) 當液相飽和度遠大於零時，液相滲透率就趨近於零值；
- 3) 隨著液相飽和度之降低，氣相滲透率則急速上升；
- 4) 在液相飽和度還未降至零時，氣相相對滲透率就已達 100%；
- 5) 在某一氣相飽和度下，氣相之相對滲透率即可達零值。

這五個特徵可作如下解釋①。首先我們來觀察屬於液相方面的前兩個特點（潤濕相）。

因為液體是可濕相，所以不可濕相（氣體）起先占據孔隙空間中心部分。被氣所占之空間在流動時之阻力最小，因此當這些孔隙空間局部被堵塞後就將使液相的相滲透率大為降低。氣體飽和度不斷增大，就導致液相飽和度和液相滲透率的降低。終於使液相成為復蓋於顆粒上的薄毛管膜層，由於這一緣故而使液相滲透率將等於零。相滲透率等於零時液相之飽和情況可以理解為，在多孔介質顆粒的接觸處以液環形式存在；殘余的液體則可能占據

① 參閱文獻[1]，第 286 頁。

于大部分的孔隙中。残余饱和度的大小取决于颗粒之性质、形状及分布情况，也与胶结程度有关。

后面三种与气相有关之特点（不可湿相），可以如下理解。从孔隙的几何形状出发，必须假设只有在气相饱和度达一定数值时，气相在多孔介质中才以連續分布的状态出现。当溶解气从液体中分离出来时，这种成連續分布的状态是自发形成的。用排出法测定气相的相对渗透率时则未曾发现气相会自发形成連續分布的现象。曾经发现，当气体饱和度演变得高于某一定值时气相将以連續状态流动。此种最低的气体饱和度常小于从液相中分出气体时之饱和度。这一論断必需用实验来进行检验。由此可得結論：为了能使气相流动，必须使气体的饱和度达到某一最低的定值。

当气体饱和度低于某一最小值时，气体的相对渗透率等于零的問題实质，可以根据毛管滲流理論来闡釋。假定气相是成球状分布，球状气泡的直径比流动方向上孔隙狭窄处的直径还要小，就可以作出結論，即气态小球泡将被液流所携带。如气球直径大于孔道窄处的直径，那么当通过狭窄处时，气球将遇到由于变形而引起之界面张力之阻力。使半径为 r_1 之气球通过直径为 $2r_2$ 的窄处时所需的压力降落 Δp ，可按下式估算，

$$\Delta p = 2 \sigma \cos \theta \left(\frac{1}{r_2} - \frac{1}{r_1} \right).$$

式中 σ ——可湿相与非可湿相之界面张力； θ ——接触角（此压差类似于最小的驅动压力）。

設令 $r_1=0.006$ 厘米， $r_2=0.003$ 厘米， $\sigma=25$ 达因/厘米， $\theta=0$ ，則可求得 $\Delta p \approx 8330$ 达因/厘米²。

由于所取的 r_1 及 r_2 之差值較大，故所得到的压力降落值 Δp 也較大。此数值表明，分散的泡滴即使未通过孔道狭窄处，但仍能承受相当大的压力差。

倘若气泡膨胀并贴紧前后孔道之窄处，半径 r_1 及 r_2 将为同一数值，那么压力差 Δp 就变得最小；假設 r_1 比 r_2 約大 10%，我們得到的 $\Delta p \approx 1700$ 达因/厘米²。如果此一压差是依賴液相而

构成，而孔道长度設令其等于 0.01 厘米的話，那么相当的压力梯度将近 15.5 大气压/米。这样大小的压力梯度值，无论是在实验室还是在地层条件下都是无法达到的；因此只有当气体在孔隙中成連續相时，气相才可能具有流动性。例外的是只有在井底附近气体才能流动。只有当孔隙中气相饱和度达到平均最小值，即相当于气相成連續分布时，气相才能开始流动。气相渗透率从零起就迅速上涨并逐步超过了液相渗透率。最后液相渗透率将等于零，而气相渗透率则达到均质液体的渗透率值，虽然在这个时候液相饱和度还可能比零值大得多。这一事实可以闡明，液相确实存在于最小孔隙中或在颗粒接触处，它对气体的正常流动不会有重大影响。

气体渗流的发生是逐渐变化的，开始时是在有着較大隘口的孔隙中，而后蔓延到較小的孔隙中；液体渗流的停止最初是发生于小孔隙中，而后逐渐蔓延到較大的孔隙中。由上述可以得出結論，孔隙的大小，孔隙的形状及其胶結程度，以至于其表面性质，从定量上說都会严重的影响到相对渗透率曲綫的型式。

§ 4. 根据单一液相及单一气相所組成的系統

而获得的渗透率与飽和度关系，定性地闡明

油气的多相液流特点

第Ⅺ章第 2、3 节所述的資料及見解，可以用来定性地闡明油层及气层之开发特征。

我們来研究下列相对渗透率曲綫之特点：

- 1) 当孔隙中气体饱和度小于某一大于零的极限最小飽和度值时，气体的相对渗透率将等于零；
- 2) 随着气相饱和度的不断增加，液相的相渗透率則不斷下降。

这两个特点就显出渗流的不稳定性。要获得并保持穩定渗流时，只当气体渗透率高于零时才有可能。在气体渗透率已高于零